



Available online: <http://ijhe.tums.ac.ir>

مقاله پژوهشی



## کاربرد نانولوله‌ای کربنی چند دیواره مغناطیسی شده برای حذف سورفاکtant آنیونی سدیم دودسیل سولفات از محلول‌های آبی: مطالعه ایزوترمی و کیتیکی

زهرا رحمانی<sup>۱</sup>، مطهره هراتی<sup>۲</sup>، محمد رضا رحمانی<sup>۳</sup>، یوسف پورعشق<sup>۱</sup>، محمد تقی صمدی<sup>۴\*</sup>

۱. دانشجوی دکتری بهداشت محیط، گروه بهداشت محیط، دانشکده بهداشت، دانشگاه علوم پزشکی همدان، همدان، ایران
۲. دانشجوی دکتری بهداشت محیط، گروه بهداشت محیط، دانشکده بهداشت، دانشگاه علوم پزشکی ایران، تهران، ایران
۳. کارشناس ارشد مهندسی شیمی، گروه مهندسی شیمی، دانشکده مهندسی شیمی، دانشگاه صنعتی نوشیروانی، بابل، ایران
۴. (نویسنده مسئول): استاد، گروه بهداشت محیط، دانشکده بهداشت، دانشگاه علوم پزشکی همدان، همدان، ایران

اطلاعات مقاله:	چکیده
تاریخ دریافت:	۹۴/۱۱/۰۷
تاریخ ویرایش:	۹۵/۰۱/۳۰
تاریخ پذیرش:	۹۵/۰۲/۰۵
تاریخ انتشار:	۹۵/۰۶/۲۸
واژگان کلیدی:	نانولوله کربنی چند دیواره مغناطیسی شده، سورفاکtant آنیونی سدیم دودسیل سولفات، جذب سطحی
یافته‌ها:	بررسی های جذب نشان داد که میزان جذب سدیم دودسیل سولفات با افزایش غلظت اولیه، افزایش $pH$ و کاهش دز جاذب کاهش می‌یابد. جذب سدیم دودسیل سولفات پس از ۱۲۰ min به تعادل رسیده و با افزایش غلظت از ۱۵ mg/L به ۱۵۰ mg/g ظرفیت جذب از ۸ mg/g به ۶۱ mg/g افزایش یافت. نتایج مطالعات ایزوترم و سیستیک جذب نیز نشان داد که داده‌های حاصل از ایزوترم از مدل جذب لانگمویر ( $R^2 = 0.993$ ) و سیستیک شبه درجه دوم ( $R^2 = 0.992$ ) تبعیت می‌کنند.
نتیجه‌گیری:	جذب نانولوله چند دیواره مغناطیسی شده با توجه به ظرفیت جذب بالا و زمان تعادل نسبتاً کم در حذف سورفاکtant آنیونی سدیم دودسیل سولفات و قابلیت جداسازی آسان جاذب از محیط‌های آبی، یک گزینه موثر و مفید به منظور حذف سدیم دودسیل سولفات است.

پست الکترونیکی نویسنده مسئول:  
samadimt@umsha.ac.ir

## مقدمه

آلاینده‌هایی چون فلزات سنگین، رادیونوکلئیدها، ترکیبات آلی و معدنی خطرناک، توجه دانشمندان را به خود جلب کرده است (۱۰، ۹). Gao و همکاران بر روی حذف رنگ‌های آنیونی با استفاده از نانولوله‌های کربنی هیرید شده با پلیمرهای مغناطیسی شده مطالعه‌ای انجام دادند، نتایج نشان‌دهنده pH راندمان ۹۰ درصد جذب سطحی رنگ‌های آنیونی در pH اسیدی بر روی جاذب بوده است. همچنین نتایج نشان داده است که ایزوترم جذب این آلاینده بر روی جاذب مغناطیسی شده از ایزوترم لانگموری تبعیت کرده و سیستیک واکنش نیز شبه درجه دوم است (۱۱). Tang و همکاران با استفاده از نانولوله‌های کربنی مغناطیسی شده توانستند آترازین و یون مس را با راندمان بالای ۹۰ درصد از محیط‌های آبی حذف کنند. نتایج نشان داده است که راندمان جذب در pH های اسیدی کمتر بوده و سیستیک واکنش از نوع شبه درجه دوم پیروی می‌کند. احیای جاذب Fe<sub>3</sub>O<sub>4</sub>/MWCNTs نیز در چندین سیکل امکان‌پذیر است. این جاذب به راحتی با ایجاد میدان مغناطیسی قادر به جداسازی از محیط‌های آبی است (۱۲). Konicki و همکاران نیز با استفاده از جاذب نانولوله کربنی چند دیواره مغناطیسی شده رنگ قرمز مستقیم آنیونی را از محیط‌های آبی حذف کردند. داده‌های حاصل از تعادل نشان داده است که ایزوترم فرایند از نوع فرونالیچ تبعیت می‌کند و سیستیک واکنش نیز از نوع شبه درجه دوم پیروی می‌کند. ظرفیت جذب این رنگ زا در درجه حرارت C<sup>0</sup> معادل ۶۰ mg/g است (۱۳).

تحقیق حاضر با هدف بررسی رفتار جذب نانولوله کربنی چنددیواره مغناطیسی شده به عنوان یک جاذب با ظرفیت جذب بالا بر روی حذف سورفاکtant آنیونی سدیم دودسیل سولفات انجام شد. با توجه به اهداف در نظر گرفته شده در این تحقیق، اثر متغیرهای کمی مانند غلاظت سورفاکtant، دوز جاذب و میزان pH، مورد بررسی قرار گرفته است. همچنین مدل‌های تعادل جذب و سیستیک واکنش نیز در این فرایند مورد بررسی قرار گرفته است.

گسترش روز افزون صنایع و به دنبال آن تخلیه فاضلاب‌های صنعتی به محیط زیست باعث ایجاد نگرانی‌های زیادی در مورد آلودگی آب‌های سطحی و زیرزمینی و تخریب محیط زیست شده است (۱). یکی از بزرگ‌ترین گروه مواد آلاینده که توسط انسان به محیط‌های آبی افزوده می‌شود، سورفاکtant‌ها هستند. سورفاکtant‌ها در محصولاتی که هر روزه مورد استفاده قرار می‌گیرد، مانند صابون‌ها، دترجنت‌ها، محصولات دارویی، مواد حاصل از مراقبت‌های فردی، همچنین در صنایعی مانند تجهیزات با تکنولوژی‌های پیشرفته و محصولات چرم نیز یافت می‌شوند. در نتیجه رهاسازی این آلاینده به محیط‌های آبی غیر قابل اجتناب به نظر می‌رسد (۲، ۳). سورفاکtant‌ها با توجه به ویژگی‌یونی به انواع مختلفی تقسیم‌بندی می‌شوند که شامل: آنیونی، کاتیونی، آمفوتریک و غیریونی است. یکی از فراوان‌ترین سورفاکtant‌ها از گروه آنیونی که احتمال تجمع زیستی در بدن انسان دارد، سدیم دودسیل سولفات (SDS) است (۴).

استفاده از روش‌هایی مانند ازن زنی به منظور حذف سورفاکtant‌ها در مقیاس واقعی بسیار پرهزینه و دشوار است و با توجه به خاصیت میکروبکشی قوی بعضی از سورفاکtant‌ها کاربرد روش‌های بیولوژیکی به منظور حذف این آلاینده در غلظت‌های بالا غیر ممکن است (۵). بنابراین به نظر می‌رسد که جاذب سطحی یکی از مناسب‌ترین روش‌ها به منظور حذف این آلاینده شناخته شده و نسبت به سایر روش‌های شناخته شده کاربردی‌تر است. یکی از فناوری‌هایی که اخیراً مقبولیت زیادی پیدا کرده است، استفاده از ذرات در مقیاس نانو برای تصفیه و حذف آلاینده‌ها است. ذرات نانو به دلیل داشتن اندازه کوچک، سطح مقطع زیاد، شکل کریستالی و نظم شبکه‌ای منحصر به فرد و در نتیجه واکنش‌پذیری بسیار زیاد، می‌توانند به منظور جذب انواع مختلفی از آلاینده‌ها استفاده گرددن (۶-۸). در سال‌های اخیر، نانو ذرات کربن شامل نانوتیوب‌های کربن (CNTs) بدليل توانایی در جداسازی

## مواد و روش‌ها

### - مواد

MWCNTs فیلتراسیون و شستشوی مکرر با آب مقطر، اصلاح شده در دمای  $80^{\circ}\text{C}$ ، به مدت 8 h خشک گردید و در mL ۵۰۰ آب مقطر قرار گرفت. در مرحله بعد، mL ۳۰ از محلول MWCNTs اصلاح شده، به اrlen mL ۲۵۰ که حاوی mL ۱۰۰ آب مقطر بود اضافه و سپس با هدف جداسازی اکسیژن موجود در محیط اrlen به مدت ۱۵ min به محلول گاز نیتروژن ( $\text{N}_2$ ) دمیده شد. سپس نمونه در بنماری در دمای  $95^{\circ}\text{C}$  قرار گرفت و ۲ g  $\text{FeSO}_4 \cdot 7\text{H}_2\text{O}$  به اrlen ۲۵۰ mL اضافه گردید. سپس، mL ۴۰ محلول (که حاوی g  $\text{NaOH} 1/8$  و g  $\text{NaNO}_3 0/9$  بود) در دمای بیش از  $95^{\circ}\text{C}$  حرارت داده شده و بر روی دستگاه شیکر، قطره قطره (mL/min) ۲ به محلول نانولوله‌های کربنه چند ۲ h دیواره اصلاح شده، اضافه گردید. محلول نهایی به مدت ۲ h در دمای  $95^{\circ}\text{C}$  قرار گرفت و پس از آن رسوب تشکیل شده در اrlen توسط یک میدان مغناطیسی از محلول جدا گردید و در نهایت نانو کامپوزیت مگنتیت تشکیل شده در دمای  $100^{\circ}\text{C}$  به مدت ۲ h داخل اتوکلاو خشک گردید (۱۴).

### -

### - آزمایشات جذب

متغیرهای مورد بررسی در این پژوهش شامل pH، دز جاذب و دز سورفاکtant است. برای اطمینان از تکرارپذیری نتایج، هر آزمایش ۲ بار تکرار و میانگین اعداد گزارش شد. به منظور تعیین غلاظت سدیم دودسیل سولفات (SDS) از روش متیلن بلو (MBAS) استفاده گردید، در این روش، به mL ۳۰۰ از محلول سورفاکtant ۱۰ mL بافر سولفات اضافه کرده و محلول را به مدت ۵ min تکان دادیم، سپس یک بسته از معرف دترجنت را اضافه کرده و پس از آن mL ۳۰ محلول تولوئن اضافه و به مدت ۱ min اختلاط داده شد. در نهایت محلول را به مدت ۳۰ min داخل قیف دکانتور قرار داده تا دو فاز تولید شده از هم جدا گردد، قسمت پایینی قیف را تخلیه و قسمت بالایی قیف درون سل mL ۱۰ مخصوص دستگاه اسپکتروفتومتر ریخته شد و غلاظت دترجنت باقیمانده در طول

مطالعه حاضر از نوع بنیادی- کاربردی است که در مقیاس آزمایشگاهی انجام گرفت. در این مطالعه، نانو لوله‌های کربنه چند دیواره (MWCNTs) دارای درصد خلوص بیش از ۹۵ درصد، قطر خارجی nm ۳۰-۲۰، طول  $\mu\text{m}$  ۱۱۰ و چگالی واقعی  $\text{g/cm}^3 ۱/۲$  از شرکت نوترنو تهران، خریداری گردید. سورفاکtant SDS با فرمول شیمیایی  $\text{CH}_3(\text{CH}_2)_{11}\text{OSO}_3\text{Na}$  مواد شیمیایی مورد استفاده در این آزمایش مانند فروسلفات ۷ آبه ( $\text{FeSO}_4 \cdot 7\text{H}_2\text{O}$ )، اسیدسولفوریک ( $\text{H}_2\text{SO}_4$ )، سدیم هیدروکسید ( $\text{NaOH}$ )، نیترات سدیم ( $\text{NaNO}_3$ )، اسید نیتریک ( $\text{HNO}_3$ ) از شرکت مرک (Merck) آلمان خریداری گردید. به منظور تهیه نمونه سنتیک، ابتدا محلول استوک سدیم دودسیل سولفات با غلاظت mg/L ۱۵۰۰ حل کردن g/۰/۵ از سدیم دودسیل سولفات در mL ۱۰۰۰ آب مقطر ساخته و غلاظت‌های مورد نظر از محلول استوک تهیه گردید. تنظیم pH محلول توسط pH متر دیجیتالی (مدل ۴ HACH Sension) با استفاده از سود و اسیدسولفوریک mol/۱ انجام گردید. فرمول شیمیایی سورفاکtant  $\text{NaC}_{12}\text{H}_{25}\text{SO}_4$ ، جرم مولکولی ۲۸۸/۳۷ g/mol و به صورت پودر سفید رنگ و بدون بو است.

## روش کار

- ستز نانو کامپوزیت مگنتیت  $\text{Fe}_3\text{O}_4/\text{MWCNTs}$  در این مرحله جاذب مغناطیسی شده با هدف جداسازی آسان جاذب از محلول‌های آبی با استفاده از اعمال میدان مغناطیسی، تولید گردید. به این منظور، ابتدا mg ۱۰۰ نانو لوله‌های کربنه چند دیواره، داخل اrlen که حاوی mL ۱۲۰  $\text{H}_2\text{SO}_4$  با نسبت حجمی ۳ به ۱ (V:V:۳/۱) است، اضافه گردید و در دمای  $60^{\circ}\text{C}$ ، به مدت ۳ h در حمام اولتراسونیک با فرکانس ۵۰ Hz و توان W ۳۵۰ قرار داده شد. پس از

$q_e = \text{حداکثر ظرفیت جذب، } b = \text{ثابت تعادل، } C_e = \text{غاظت تعادلی سورفاکتانت}$   
معادله غیر خطی فروندلیچ نیز در زیر آورده شده است.

$$q_e = K_f C_e^{1/n} \quad (4)$$

$K_f = \text{ظرفیت جذب در واحد غلظت}$   
 $1/n = \text{شدت جذب سطحی}$

مدل سیپس یک مدل جذب تجربی است که ترکیبی از مدل جذب لانگمویر و فروندلیچ است (۱۷). در اثر ترکیب این دو مدل پارامترهای مدل سیپس شکل می‌گیرد که شامل  $Q_{MAX}$  و  $1/n$  است که توسط همخوان کردن داده‌های آزمایش با معادله مربوط به این مدل قابل محاسبه است. مدل ایزوترم جذب سیپس در زیر نشان داده شده است:

$$q_e = (q_{max} K_s C_e^{1/n}) / (1 + K_s C_e^{1/n}) \quad (5)$$

به منظور تعیین ویژگی‌های فرایند جذب توسط جاذب نانولله کربن چند دیواره مغناطیسی شده ( $\text{Fe}_3\text{O}_4/\text{MWCNTs}$ ) بررسی کردن سرعت جداسازی ماده جذب شونده از محلول حائز اهمیت است. مطالعات تعادلی سیتیک واکنش جذب در شرایط بهینه و در زمان‌های مختلف صورت می‌گیرد. معادلات مربوط به سرعت واکنش به شرح زیر است:

سرعت واکنش شبه درجه اول:

$$\log(q_e - q_t) = \log(q_e) - K_t / 2.303 \quad (6)$$

$q_e$  و  $q_t$  به ترتیب مقدار سورفاکتانت جذب شده روی جاذب در زمان تعادل و در زمان  $t$  برابر است با ثابت سرعت جذب. سرعت واکنش شبه درجه دوم از معادله زیر پیروی می‌کند:

$$t/q_t = 1/k q_e^2 + t/q_t \quad (7)$$

که در آن  $t$  زمان واکنش،  $q_t$  (mg/g) میزان جذب ماده جذب شونده در هر زمان،  $(q_e - q_t)$  (mg/g) و  $k$  (g/mg h) ثابت واکنش درجه دوم است.

موج ۶۵۲ nm با استفاده از دستگاه اسپکتروفوتومتر DR5000 (HACH) (۱۵). به منظور بررسی کارایی حذف از معادله زیر استفاده شد:

$$R = (C_0 - C_e) / C_0 \quad (1)$$

$C_e$  به ترتیب غلظت اولیه سورفاکتانت و غلظت نهایی سورفاکتانت بر حسب mg/L پس از جذب بر روی جاذب است.

مطالعات مربوط به ایزوترم و سیتیک جذب هم در شرایط بهینه حاصل از مراحل قبل صورت گرفته است. ظرفیت جذب سورفاکتانت با استفاده از معادله (۲) قابل محاسبه است:

$$q_e = (C_0 - C_e) V / W \quad (2)$$

$q_e$  = مقدار ماده جذب شونده به واحد جرم ماده جاذب (mg/g)

$C_0$  = غلظت اولیه سورفاکتانت در محلول (mg/L)

$C_e$  = غلظت تعادلی نهایی سورفاکتانت بعد از تعادل (mg/L)

$V$  = حجم داخل راکتور (L)

$W$  = جرم ماده جاذب (g)

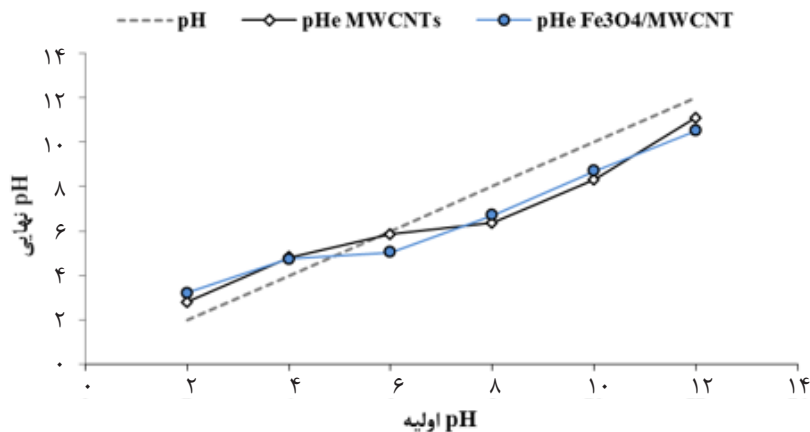
ایزوترم‌های جذب نشانگر چگونگی برقراری اتصال بین ماده جذب شونده و جاذب است و در بهینه‌سازی پارامترهای موثر بر فرایند جذب سطحی دارای اهمیت است. به منظور بهینه‌سازی طراحی فرایند جذب سطحی، به منظور حذف سورفاکتانت مورد نظر، برقرارسازی همبستگی در نمودارهای جذب الزامی است (۱۶). مدل‌های ایزوترم لانگمویر و فروندلیچ بیانگر ارتباط تعادلی غلظت ماده جذب شونده بین ماده جاذب و محلول هستند. در معادله لانگمویر جذب یک لایه‌ای و یکنواخت ماده جاذب با انرژی یکسان بر روی سطح جاذب رخ می‌دهد که معادله غیر خطی آن به صورت زیر است:

$$q_e = (q_m b C_e) / (1 + b C_e) \quad (3)$$

$q_e$  = غلظت ماده جذب شونده در فاز جامد در حالت تعادل (mg/g)

و سود تنظیم گردید. میزان جرمی  $0.08\text{ g}$  از نانوکامپوزیت مگنتیت تهیه شده در هر کدام از ارلن‌ها اضافه گردید. ارلن‌ها را به مدت  $24\text{ h}$  بر روی شیکر با سرعت  $120\text{ rpm}$  قرار داده و بعد از سپری شدن زمان فوق  $\text{pH}$  نهایی محتویات ارلن‌ها پس از صاف‌سازی با استفاده از دستگاه  $\text{pH}$  متر قرائت گردید. بعد از رسم منحنی تغییرات  $\text{pH}$  در مقابل  $\text{pH}_{\text{zpc}}$  اولیه، تعیین گردید (۱۹). همانطورکه در نمودار ۱ مشاهده می‌شود  $\text{pH}_{\text{zpc}}$  نانولوله‌های کربنی چند دیواره و نانوکامپوزیت مگنتیت  $5/9$  و  $4/7$  است.

- تعیین  $\text{pH}_{\text{zpc}}$   
 $\text{pH}_{\text{zpc}}$  نشان‌دهنده وضعیت پراکندگی بار الکتریکی در سطح جاذب است. در  $\text{pH}$  بالاتر از  $\text{pH}_{\text{zpc}}$  بار الکتریکی سطحی غالب در سطح جاذب به صورت بار منفی است و در  $\text{pH}$  پائین‌تر از آن بار سطحی غالب در سطح آن مثبت است (۱۸). برای تعیین  $\text{pH}_{\text{zpc}}$  از محلول نمک طعام  $0.01\text{ mol}/\text{L}$  به عنوان الکترولیت و از محلول‌های سود و اسید کلریدریک  $0.1\text{ mol}/\text{L}$  به عنوان عوامل کنترل‌کننده استفاده گردید. مقدار  $30\text{ mL}$  (در هر ارلن) از محلول الکترولیت را در عدد ارلن  $50\text{ mL}$  ریخته و  $\text{pH}$  محلول‌ها در محدوده ۲ تا ۱۲ با استفاده از اسید



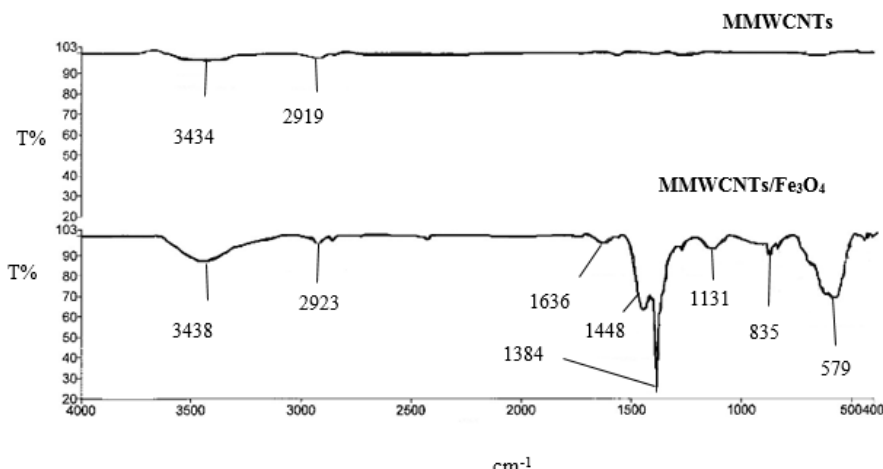
نمودار ۱ - نمودار  $\text{pH}_{\text{zpc}}$  نانوکامپوزیت  $\text{Fe}_3\text{O}_4/\text{MWCNTs}$  و  $\text{MWCNTs}$

## یافته‌ها

### - ویژگی‌های جاذب

شکل ۱ طیف FT-IR نانولوله‌های کربنی چند دیواره و نانوکامپوزیت مگنتیت سنتز شده را نشان می‌دهد. دامنه این تغییرات در فاصله  $4000\text{ cm}^{-1}$  تا  $400\text{ cm}^{-1}$  تعیین شده است. جایگاه‌های مشخص شده در طیف نانولوله کربنی شامل  $2919/57, 3434\text{ cm}^{-1}$  است که به ترتیب به ارتعاشات کششی  $\text{O-H}$ ،  $\text{COO}-$  (کربوکسیلات) در گروه‌های هیدروکسیل مربوط می‌شود. که می‌توان آن را به حضور کربن در ساختار نانولوله‌های کربنی نسبت داد. همچنین جایگاه‌های مشخص

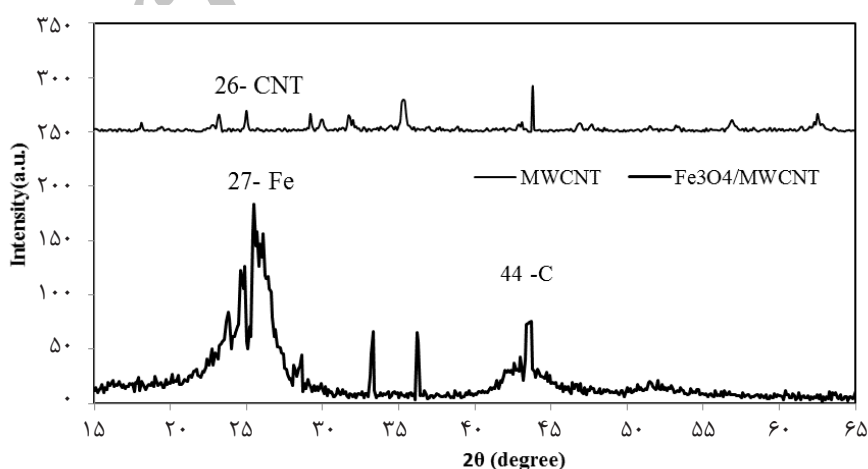
شده در طیف نانوکامپوزیت مگنتیت  $\text{Fe}_3\text{O}_4/\text{MWCNTs}$  شامل گروه‌های عاملی در عدد موجی  $3438/21\text{ cm}^{-1}$ ،  $1384/53$ ،  $579/40$  هستند. در طیف نانوکامپوزیت مگنتیت پیک موجود در جایگاه  $\text{S=O}$  و  $\text{N=O}$  نسبت به طیف نانولوله کربنی چند دیواره عمیق‌تر شده است. که می‌توان این تغییرات را به دلیل استفاده از ترکیبات نیتروژن و ترکیبات سولفات که در سنتز نانوکامپوزیت مگنتیت استفاده شده، نسبت داد و همچنین در طیف  $579/40$  حضور  $\text{Fe}_3\text{O}_4$  در ساختار نانوکامپوزیت مگنتیت تایید می‌شود (۲۰).



شکل ۱- طیف FTIR نانو لوله کربنی چند دیواره، و نانو کامپوزیت مگنتیت Fe<sub>3</sub>O<sub>4</sub>/MWCNT

در زاویه ۴۴ درجه پیک ظاهر شده است که مربوط به پراش کریستالی و ترتیب‌های منظمی از استوانه‌های متعددالمرکزی از اتم‌های کربن است (۲۱). در آنالیز (XRD) حداقل پیک مربوطه برای نانو کامپوزیت سنتز شده در زاویه ۲۷<sup>۰</sup> باشدت ۲۰۳/۰۹۶۵ است، که مربوط به بلورهای مکعبی شکل سولفات آهن ۷ آبه بوده و این آنالیز وجود آهن را در ساختار نانو کامپوزیت مگنتیت تایید می‌کند (۲۲).

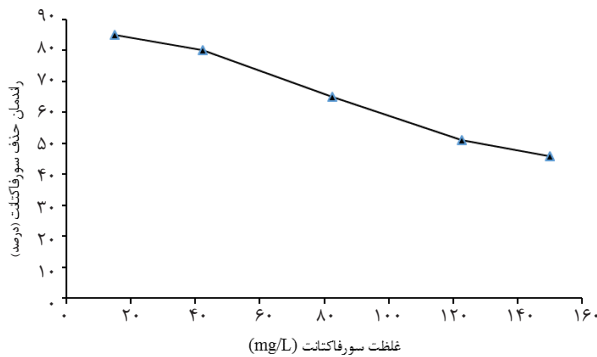
برای تعیین الگوی پراکنش اشعه X مربوط به نانو لوله کربنی چند دیواره و نانو کامپوزیت مگنتیت در محدوده زاویه ۲۰ = ۱۵-۶۵<sup>۰</sup> از دستگاه پراش اشعه X (XRD)، استفاده گردید. با توجه به شکل ۲، نانو کامپوزیت مگنتیت اصلاح شده ساختار آمورف یا غیر کریستالی از خود نشان داده و درصد بالای آهن (سولفات آهن ۷ آبه) نسبت به نانولوله کربنی چند دیواره، خاصیت مغناطیسی بالایی دارد. همانطور که در شکل ۲ نشان داده شده است، در رابطه با نانولوله کربنی چند دیواره (MWCNTs)



شکل ۲- XRD نانو لوله کربنی چند دیواره و نانو کامپوزیت مگنتیت Fe<sub>3</sub>O<sub>4</sub>/MWCNT

### - بررسی اثر غلظت سورفاکtant آنیونی SDS

بمنظور بررسی اثر غلظت سورفاکtant بر روی راندمان جذب، گسترهای از غلظت ( $150\text{--}150\text{ mg/L}$ ) در نظر گرفته شده است. همانطور که در نمودار ۴ نشان داده شده است، با افزایش یافتن غلظت سورفاکtant، راندمان حذف کاهش می‌یابد.



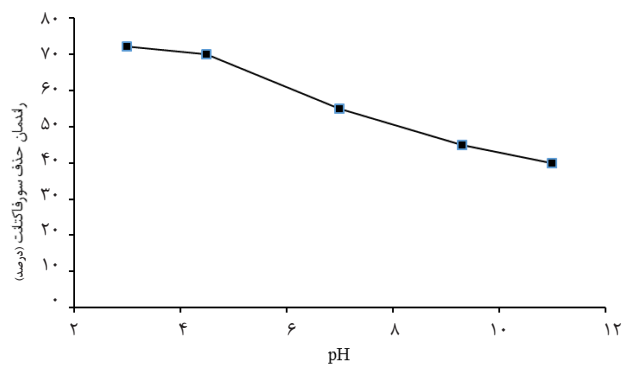
نمودار ۴- بررسی اثر غلظت سورفاکtant بر راندمان حذف SDS  
( $\text{pH} = ۴/۵$  و دز جاذب:  $۰/۲۸ \text{ g/L}$ )

### - ایزوترم و سیستیک جذب

به منظور تعیین نحوه جذب سطحی  $۰/۵ \text{ g}$  از جاذب در  $۳۰۰ \text{ mL}$  از محلول حاوی غلظت‌های مختلفی از سورفاکtant آنیونی SDS اضافه گردید. زمان رسیدن به تعادل جاذب با جذب شونده حدود  $120 \text{ min}$  بددست آمد. ایزوترم‌های لانگمویر، فرونالیچ و سپیس و سیستیک‌های شبه درجه اول و شبه درجه دوم به منظور بررسی فرایند جذب سورفاکtant توسط جاذب مورد بررسی قرار گرفت. نمودار ۵ مقایسه‌ای از ظرفیت جذب داده‌های آزمایشگاهی بدست آمده با ایزوترم‌های مختلف است. جدول ۱ نیز پارامترهای مربوط به ایزوترم جذب SDS بر روی نانولوله‌های کربنی چند دیواره مغناطیسی شده را نشان می‌دهد، همانطور که از داده‌های بدست آمده قبل مشاهده است، بیشترین میزان رگرسیون مربوط به مدل لانگمویر و سپیس است (۱۷).

### - بررسی اثر pH

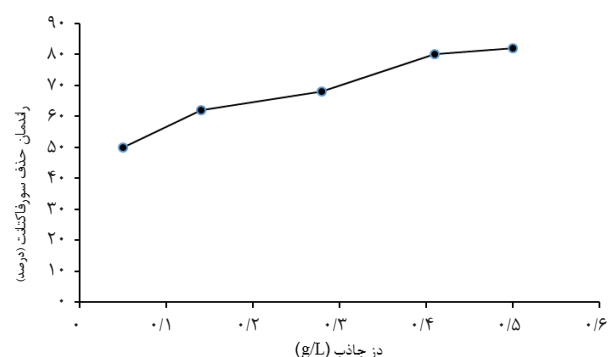
میزان pH تاثیر قابل توجهی بر روی جذب سورفاکtant دارد که با توجه به ویژگی یونیزاسیون سورفاکtant قابل بررسی است. همانطور که در نمودار ۲ نشان داده شده است، در pH‌های اسیدی راندمان جذب سورفاکtant SDS بر روی جاذب بیشتر از میزان قلیایی است.



نمودار ۲- بررسی اثر میزان pH بر راندمان حذف SDS  
(دز جاذب:  $۰/۲۸ \text{ g/L}$  و غلظت سورفاکtant:  $۴۲/۳۶ \text{ mg/L}$ )

### - بررسی اثر میزان جاذب نانوکامپوزیت مگنتیت ( $\text{Fe}_3\text{O}_4/\text{MWCNTs}$ )

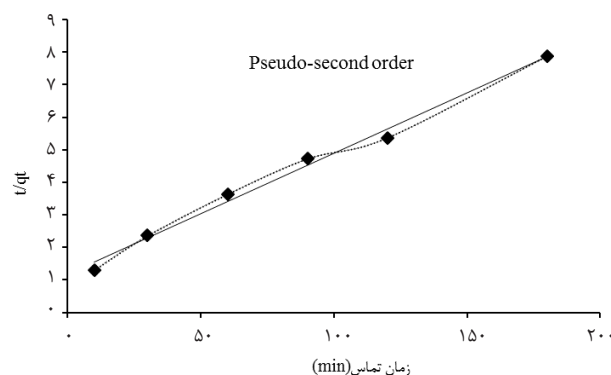
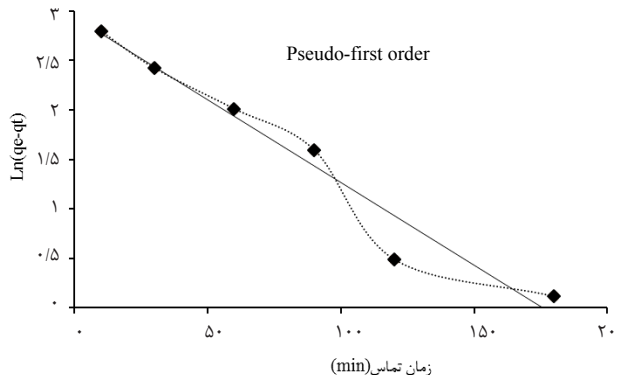
به منظور بررسی اثر غلظت جاذب محدوده‌ای از غلظت ( $۰/۰۵\text{--}۰/۵ \text{ g/L}$ ) انتخاب گردید. اثرات غلظت جاذب بر روی راندمان جذب سورفاکtant در نمودار ۳ آورده شده است. با افزایش یافتن غلظت جاذب و به دنبال آن افزایش سایت‌های قابل دسترس بمنظور جذب سطحی، راندمان جذب سورفاکtant نیز افزایش یافته است.



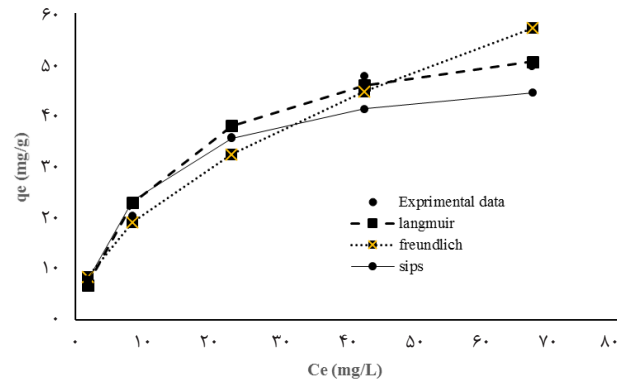
نمودار ۳- بررسی اثر دز جاذب بر راندمان حذف SDS  
( $\text{pH} = ۴/۵$  و غلظت سورفاکtant:  $۴۲/۳۶ \text{ mg/L}$ )

جدول ۱- پارامترهای ایزوتروم جذب SDS توسط نانولوله چند دیواره مغناطیسی شده

ایزوتروم سپس	ایزوتروم فروندلیچ	ایزوتروم لانگمویر
$Q_{\max}(\text{mg/g}) = 51$	$K_F (\text{mg/g})^{1/n} = 6/23$	$Q_{\max}(\text{mg/g}) = 61$
$K_S = 0.1$	$n = 1/9$	$K_L (\text{L/mg}) = 0.007$
$R^2 = 0.9924$	$R^2 = 0.98$	$R^2 = 0.9922$



نمودار ۶- سیتیک شبه درجه اول و شبه درجه دوم جذب سورفاکtant SDS با استفاده از جاذب  $\text{Fe}_3\text{O}_4/\text{MWCNTs}$



نمودار ۵- مقایسه داده‌های آزمایشگاهی با مدل ایزوتروم لانگمویر، فروندلیچ و سپس بمنظور جذب سورفاکtant SDS توسط جاذب نانولوله کربنی چند دیواره مغناطیسی شده ( $\text{Fe}_3\text{O}_4/\text{MWCNTs}$ )

نمودار ۶ نشان‌دهنده اثرات زمان تماس بر روی ظرفیت جذب سورفاکtant SDS از محلول آبی در دمای آزمایشگاه است. نتایج حاصل از سیتیک‌های جذب نیز در جدول ۲ آورده شده است. همانطور که قابل مشاهده است، بیشترین همخوانی در رابطه با سیتیک شبه درجه دوم است.

جدول ۲- پارامترهای جذب مربوط به سیتیک شبه درجه اول و سیتیک شبه درجه دوم

شبه درجه دوم (pseudo second-order equation)	شبه درجه اول (pseudo first-order equation)
$q_e(\text{mg/g}) = 27$	$q_e(\text{mg/g}) = 19$
$K_2 (\text{mg/g h}) = 0.0016$	$K_1 (\text{mg/g h}) = 0.0167$
$R^2 = 0.992$	$R^2 = 0.96$

## بحث

## بررسی اثر pH

لایه کربنی است، نتایج نشان دهنده افزایش راندمان جذب در شرایط اسیدی بوده و در pH برابر با ۲ بیشترین ظرفیت جذب گزارش گردیده است. به نظر می رسد مهم ترین مکانیسمی که باعث جذب سورفاک坦ت های آنیونی در شرایط اسیدی می گردد، نیروی جاذبه الکترواستاتیکی و فعل و افعالات رخ داده در مولکول های آب گریز است (۲۴).

- بررسی اثر میزان جاذب نانو کامپوزیت مغنتیت ( $\text{Fe}_3\text{O}_4/\text{MWCNTs}$ )

همانطور که در نمودار ۳ قابل مشاهده است، با افزایش یافتن غلظت جاذب و به دنبال آن افزایش سایت های قابل دسترس بمنظور جذب سطحی، راندمان جذب سورفاکتانت نیز افزایش یافته است (۲، ۲۵-۲۳). از طرفی به علت آب گریز بودن جاذب MWCNTs، بخش آب گریز سورفاکتانت نیز قادر به اتصال با این جاذب بوده و جذب سطحی رخ می دهد (۲۴) و همکاران در مطالعه ای که بر روی حذف سورفاکتانت های یونی و غیر یونی با استفاده از نانولوله های کربنی چند دیواره انجام دادند، مشاهده کردند که با افزایش غلظت جاذب از  $0.1 \text{ g/L}$  به ۱ در رابطه با حذف سورفاکتانت های آنیونی، ظرفیت جذب افزایش می یابد که علت آن را به افزایش محل های فعال جذب در جاذب ارتباط دادند. قابل ذکر است که در مطالعه حاضر اثرات متقابل پارامترها بر روی جاذب نانولوله کربنی چند دیواره (MWCNTs) نیز مورد مطالعه قرار گرفت و نتایج حاصله از آن مشابه نتایج گزارش شده در رابطه با جاذب نانولوله چند دیواره مغناطیسی است، با این تفاوت که سطح ویژه جاذب مگنت شده به علت قرار گرفتن ذرات آهن بر روی آن به مقدار جزئی کمتر از نانولوله چند دیواره معمولی است که باعث کاهش جزئی در راندمان آن می گردد، از طرفی در شرایط اسیدی امکان جدا شدن اکسیدهای آهن از سطح جاذب است که این مقدار جزئی بوده و اثر قابل توجهی در راندمان ندارد. با توجه به جداسازی آسان نانوجاذب های مگنت شده با برقراری میدان مغناطیسی، نتایج مربوط به این جاذب در

یکی از ویژگی های مهم جاذب،  $\text{pH}_{zpc}$  است که نشان دهنده وضعیت پراکندگی بار الکتریکی در سطح جاذب است. در pH بالاتر از  $\text{pH}_{zpc}$  بار الکتریکی سطحی غالب در سطح جاذب منفی است و در pH پائین تر از  $\text{pH}_{zpc}$  بار سطحی غالب در سطح آن مثبت است. این مقدار در نانولوله های کربنی چند دیواره (MWCNTs) و نانو کامپوزیت مغنتیت ( $\text{Fe}_3\text{O}_4/\text{MWCNTs}$ ) به ترتیب  $5/9$  و  $4/7$  است (۲۳). به این ترتیب در مقادیر اسیدی بار غالب سطحی جاذب مثبت است. همانطور که در نمودار ۲ نشان داده شده است، بیشترین میزان جذب در pH حدود ۴ گزارش شده است و با افزایش pH میزان جذب کاهش یافته است. برقراری نیروی الکترواستاتیکی بین بار الکتریکی مثبت بر روی سطح جاذب و بار منفی موجود بر روی سورفاکتانت آنیونی باعث افزایش میزان جذب سورفاکتانت می گردد. همچنین در pH های اسیدی اتصال زنجیره های آب گریز موجود در سورفاکتانت و جاذب نیز بهبود می یابد، از طرفی در pH قلیایی به علت حضور گروه های  $\text{OH}^-$  بین این گروه ها و سورفاکتانت های آنیونی بر سر قرار گرفتن بر روی سایت های جذب با بار سطحی مثبت روابط ایجاد شده و به این ترتیب کاهش قابل توجهی در راندمان دیده می شود. Beltrán-Heredia و همکاران بر روی حذف سورفاکتانت های آنیونی با استفاده از جاذب *Moringa oleifera* مطالعه ای انجام دادند و نتایج بیانگر تاثیر pH اسیدی برابر با ۴ بر افزایش راندمان حذف سورفاکتانت است. بر هم کنش الکترواستاتیکی بین بار مثبت موجود بر روی جاذب در شرایط اسیدی و بار منفی سورفاکتانت آنیونی باعث افزایش راندمان جذب بر روی جاذب است (۲، ۱۳، ۲۴). Ncibi و همکاران نیز در مطالعه ای که بر روی حذف انواع سورفاکتانت ها انجام دادند، نشان دادند که میزان pH یکی از مهم ترین پارامترهای موثر بر راندمان جذب سورفاکتانت های آنیونی بر روی جاذب تک

جذب قابل دسترس کم است و در غلظت‌های بالاتر، میزان سایت‌های قابل دسترس به منظور جذب کم می‌گردد، بنابراین حذف سورفاکtantها وابسته به غلظت اولیه آن در محلول است (۲۳).

#### - ایزوترم و سیستیک

چندین مکانیسم با هدف جذب سورفاکtant بر روی جاذب از محیط‌های آبی وجود دارد، که شامل موارد زیر است: تبادل یونی، جفت شدن یون‌ها، اتصالات هیدروفوییک، جذب با استفاده از پلاریزاسیون الکترون‌های  $\pi$  و جذب با استفاده از نیروهای پراکندگی. در تئوری جفت شدن یون‌ها، یون‌های موجود در سورفاکtant بر روی جایگاه‌های خالی با بار مخالف از جاذب، جذب شده و از محیط‌های آبی جدا می‌گردند. در رابطه با سورفاکtant SDS نیز این تئوری به صورت غالب رخ داده و باعث جذب این آلاینده بر روی نانوللهای کربنه چنددیواره می‌گردد. همان‌گونه که در جدول ۱ قابل مشاهده است، جذب سورفاکtant آنیونی SDS بر روی جاذب مورد نظر از ایزوترم لانگمویر بیشترین تعیت را می‌کند. همچنین سرعت این فرایند بیشترین همخوانی را با معادلات سیستیک شبه درجه دوم دارد (جدول ۲).

مقایسه ظرفیت جذب انواع جاذب‌های بکار گرفته شده به منظور جذب سورفاکtant آنیونی سدیم دودسیل سولفات، در جدول ۳ ارائه شده است. همانطورکه قابل مشاهده است، جاذب بکار گرفته شده در پژوهش حاضر دارای ظرفیت جذب بالایی بوده و با توجه به میزان بسیار کم دز جاذب راندمان بالایی را در حذف سورفاکtant آنیونی سدیم دودسیل سولفات از خود نشان داده است. قابل ذکر است که مولکول‌های SDS در محل‌های آب گریز حل می‌شوند که این محل‌های آب گریز حاصل از حرکات لرزشی گروههای هیدروکربن موجود در سورفاکtant است (۱۷). با افزایش زمان تماس (۱۰ min) تا (۱۸۰ min) ظرفیت جذب نیز به تدریج افزایش می‌یابد، که این امر می‌تواند به علت بکارگیری تمام سایت‌های جذب در زمان‌های

این مطالعه آورده شده است (۱۱، ۱۲). Pal و همکاران اثر افزایش دز ژل کیتوزان را بر روی بر روی جذب سورفاکtant SDS مورد مطالعه قرار داده‌اند. نتایج نشان داده است که با افزایش یافتن دز جاذب از  $L/0.05\text{ g}/0.08\text{ L}$  درصد حذف سورفاکtant افزایش می‌یابد. دلیل افزایش در راندمان، افزایش مساحت سطح و افزایش یافتن سایت‌های جذب با افزایش دز جاذب گزارش گردیده است (۲۳).

#### - بررسی اثر غلظت سورفاکtant آنیونی SDS

با توجه به نتایج حاصل شده، افزایش غلظت سورفاکtant باعث کاهش در راندمان جذب گردید، این کاهش جذب سورفاکtant بر روی جاذب به دلیل اشباع شدن سایت‌های جذب است. همچنین، در غلظت‌های بالای سورفاکtant، نیروهای دافعه بین مولکول‌های سورفاکtant بسیار بیشتر می‌گردد که همین مساله از جذب آنها بر روی جاذب جلوگیری می‌کند. Kaya و همکاران مطالعه‌ای را بر روی حذف سورفاکtant SDS با استفاده از کربن فعال گرانوله انجام دادند و افزایش ظرفیت جذب و کاهش راندمان حذف آلاینده را با افزایش غلظت SDS (۴۰ mg/L تا ۴۰۰ mg/L) تایید کردند (۲۶). مطالعات دیگری نیز در این زمینه انجام شده است که از جمله آن می‌توان به بررسی تاثیر افزایش غلظت سورفاکtant SDS در محدود ۱۰-۶۰ mg/L اشاره نمود. در این مطالعه نیز با افزایش غلظت سورفاکtant راندمان حذف به طور تدریجی کاهش یافته است، که به علت افزایش یافتن نیروهای پیش برنده در غلظت‌های بالای سورفاکtant است (۲۳).

در مطالعه حاضر نیز، با افزایش غلظت سورفاکtant از ۱۵ mg/L تا ۱۵۰ mg/L، راندمان جذب به تدریج کاهش یافته است. اما میزان SDS جذب شده بر روی جاذب با افزایش غلظت اولیه افزایش یافته است. این مساله به دلیل افزایش نیروهای پیش برنده به دنبال افزایش غلظت SDS است. با افزایش در گرایدیان غلظت سورفاکtant، میزان جذب هم بر روی جاذب افزایش خواهد یافت. در غلظت‌های پایین سورفاکtant، نسبت مولکول‌های سورفاکtant به سایت‌های

تعادل برقرار شده و در زمان‌های بالاتر تغییر قابل ملاحظه‌ای در ظرفیت جذب رخ نمی‌دهد (۱۱-۱۳).

طولانی‌تر باشد. پس از رسیدن به زمان تعادل (۱۲۰ min) بین جاذب (Fe<sub>3</sub>O<sub>4</sub>/MWCNTs) و جذب شونده (SDS)

جدول ۳- مقایسه ظرفیت جذب انواع مختلف جاذب‌ها بر روی حذف سورفاکтанت سدیم دودسیل سولفات (SDS)

رفرانس	ظرفیت جذب (mg/g)	انواع جاذب
(۱۷)	۳۹/۹	جاذب نیمه متخلخل MCM-۴۱ کلسینه شده
(۲۳)	۷۶	هیدروژل کیتوزان
(۲۷)	۳۹/۶	آلومینا
(۲۸)	۳/۷۵	کربن فعال حاصل از زغال چوب
(۲۸)	۴/۱	گرانول لاستیک
(۲۸)	۵/۲	ژل سیلیکا
مطالعه حاضر	۶۱	نانوکربن چنددیواره مغناطیسی شده (Fe <sub>3</sub> O <sub>4</sub> /MWCNTs)

آزمایشگاهی انجام شده و از فاصلاب سنتیک به منظور بررسی اثر متغیرها استفاده گردیده است، امکان کاهش راندمان در شرایط واقعی و با حضور عوامل مداخله‌گر پیش‌بینی می‌گردد. با توجه به اهمیت حذف سورفاکتانت‌ها از محلول‌های آبی و نتایج بدست آمده از این پژوهش، کاربرد نanolوله کربنی چند دیواره مغناطیسی شده به علت راندمان مناسب و قابلیت جداسازی آسان جاذب از محلول‌های آبی با اعمال میدان مغناطیسی توصیه می‌گردد.

### تشکر و قدردانی

این مقاله حاصل طرح تحقیقاتی (شماره طرح ۹۳۰۱۲۶۴۸۴) مصوب دانشگاه علوم پزشکی همدان بوده که با حمایت مالی معاونت تحقیقات و فناوری این دانشگاه به انجام رسیده است.

### منابع

- Méndez-Paz D, Omil F, Lema J. Anaerobic treatment of azo dye Acid Orange 7 under fed-batch and continuous conditions. Water Research. 2005;39(5):771-78.
- Beltrán-Heredia J, Sánchez-Martín J, Barrado-More-

نتیجه‌گیری  
هدف از این مطالعه بررسی رفتار جذب نanolوله‌های کربنی چند دیواره مغناطیسی شده در حذف سورفاکتانت آنیونی سدیم دودسیل سولفات بوده و همچنین اثر متغیرهایی مانند pH، در جاذب و غلظت سورفاکتانت نیز مورد بررسی قرار گرفت. مطالعات جذب شامل بررسی تعادلات جذب و سیتیک واکنش‌های صورت گرفته نیز مورد مطالعه قرار گرفت. نتایج حاصل از آزمایشات نشان داد که حذف سورفاکتانت آنیونی از محلول‌های آبی توسط نanolوله‌های چند دیواره مغناطیسی شده تحت شرایط اسیدی (pH برابر با ۴/۶)، غلظت بهینه سورفاکتانت آنیونی ۰/۲۸ mg/L و در جاذب ۰/۲۸ g/L در شرایط بهینه قرار دارد. همچنین نتایج نشان‌دهنده تبعیت واکنش جذب از ایزووترم جذب لانگمویر و سیتیک شبه درجه دوم است. با توجه به اینکه مطالعه مورد نظر در مقیاس

no M. Long-chain anionic surfactants in aqueous solution. Removal by Moringa oleifera coagulant. Chemical Engineering Journal. 2012;180:128-36.

- Shahbazi A. Comparison of adsorption efficiency of triton x-100 surfactant from industrial wastewater

- using synthetic and natural zeolites: Isotherm and kinetic studies. *Iranian Journal of Health and Environment*. 2015;8(3):297-308 (in Persian).
4. Yavuz R, Küçükbayrak S. Adsorption of an anionic dispersant on lignite. *Energy Conversion and Management*. 2001;42(18):2129-37.
  5. Li Z, Yuansheng D, Hanlie H. Transport of micelles of cationic surfactants through clinoptilolite zeolite. *Microporous and Mesoporous Materials*. 2008;116(1):473-77.
  6. Upadhyayula VK, Deng S, Mitchell MC, Smith GB. Application of carbon nanotube technology for removal of contaminants in drinking water: A review. *Science of the Total Environment*. 2009;408(1):1-13.
  7. Malakootian M, Mahvi A, Jafari Mansoorian H, Alizadeh M, Hosseini A. Study of application of alumina-coated carbon nanotube for removal of Hydroxy Benzene from aqueous solutions: Adsorption and determination of equilibrium and kinetics parameters. *Iranian Journal of Health and Environment*. 2015;8(2):127-24 (in Persian).
  8. Karimi Takanlu L, Farzadkia M, Mahvi AH, Esrafily A, Golshan M. Optimization of adsorption process of cadmium ions from synthetic wastewater using synthesized iron magnetic nanoparticles (Fe<sub>3</sub>O<sub>4</sub>). *Iranian Journal of Health and Environment*. 2014;7(2):171-84 (in Persian).
  9. Iijima S. Helical microtubules of graphitic carbon. *Nature*. 1991;354(6348):56-58.
  10. Yu F, Chen J, Chen L, Huai J, Gong W, Yuan Z, et al. Magnetic carbon nanotubes synthesis by Fenton's reagent method and their potential application for removal of azo dye from aqueous solution. *Journal of Colloid and Interface Science*. 2012;378(1):175-83.
  11. Gao H, Zhao S, Cheng X, Wang X, Zheng L. Removal of anionic azo dyes from aqueous solution using magnetic polymer multi-wall carbon nanotube nanocomposite as adsorbent. *Chemical Engineering Journal*. 2013;223:84-90.
  12. Tang W-W, Zeng G-M, Gong J-L, Liu Y, Wang X-Y, Liu Y-Y, et al. Simultaneous adsorption of atrazine and Cu (II) from wastewater by magnetic multi-walled carbon nanotube. *Chemical Engineering Journal*. 2012;211:470-78.
  13. Konicki W, Pełech I, Mijowska E, Jasińska I. Adsorption of anionic dye Direct Red 23 onto magnetic multi-walled carbon nanotubes-Fe<sub>3</sub>C nanocomposite: Kinetics, equilibrium and thermodynamics. *Chemical Engineering Journal*. 2012;210:87-95.
  14. Hu X, Liu B, Deng Y, Chen H, Luo S, Sun C, et al. Adsorption and heterogeneous Fenton degradation of 17 $\alpha$ -methyltestosterone on nano Fe<sub>3</sub>O<sub>4</sub>/MW-CNTs in aqueous solution. *Applied Catalysis B: Environmental*. 2011;107(3):274-83.
  15. Llenado RA, Neubecker TA. Surfactants. *Analytical Chemistry*. 2002;55(5):93R-102R.
  16. Arasteh R, Masoumi M, Rashidi A, Moradi L, Samimi V, Mostafavi S. Adsorption of 2-nitrophenol by multi-wall carbon nanotubes from aqueous solutions. *Applied Surface Science*. 2010;256(14):4447-55.
  17. Ariapad A, Zanjanchi M, Arvand M. Efficient removal of anionic surfactant using partial template-containing MCM-41. *Desalination*. 2012;284:142-49.
  18. Putra EK, Pranowo R, Sunarso J, Indraswati N, Ismadji S. Performance of activated carbon and bentonite for adsorption of amoxicillin from wastewater: Mechanisms, isotherms and kinetics. *Water Research*. 2009;43(9):2419-30.
  19. Parks GA, Bruyn PD. The Zero Point of Charge of Oxides I. *The Journal of Physical Chemistry*. 1962;66(6):967-73.
  20. Li H, Wan J, Ma Y, Wang Y, Huang M. Influence of particle size of zero-valent iron and dissolved silica on the reactivity of activated persulfate for degradation of acid orange 7. *Chemical Engineering Journal*. 2014;237:487-96.
  21. Zhang Y, Xiao S, Wang Q, Liu S, Qiao Z, Chi Z, et al. Thermally conductive, insulated polyimide nanocomposites by AlO (OH)-coated MWCNTs. *Journal of Materials Chemistry*. 2011;21(38):14563-68.
  22. Sui M, Xing S, Sheng L, Huang S, Guo H. Heterogeneous catalytic ozonation of ciprofloxacin in water with carbon nanotube supported manganese oxides as catalyst. *Journal of Hazardous Materials*. 2012;227:227-36.
  23. Pal A, Pan S, Saha S. Synergistically improved adsorption of anionic surfactant and crystal violet on chitosan hydrogel beads. *Chemical Engineering Journal*. 2013;217:426-34.

24. Ncibi MC, Gaspard S, Sillanpää M. As-synthesized multi-walled carbon nanotubes for the removal of ionic and non-ionic surfactants. *Journal of Hazardous Materials*. 2015;286:195-203.
25. Islam M, Rojas E, Bergey D, Johnson A, Yodh A. High weight fraction surfactant solubilization of single-wall carbon nanotubes in water. *Nano Letters*. 2003;3(2):269-73.
26. Kaya Y, Gonder Z, Vergili I, Barlas H. Removal of cetyltrimethylammonium bromide and sodium dodecylether sulfate by granular activated carbon. *Journal of Scientific and Industrial Research*. 2008;67(3):249.
27. Raval Priti V, Desai Hemangi H. Removal of anionic surfactant sodium dodecyl sulphate (SDS) from aqueous solution by using alumina. *Journal of Environmental Research and Development*. 2012;7(2A):851-62.
28. Purakayastha D, Pal A, Bandyopadhyay M. Adsorbent selection for anionic surfactant removal from water. *Indian Journal of Chemical Technology*. 2005;12(3):281-84.



Available online: <http://ijhe.tums.ac.ir>

Original Article



## Application of Magnetic Multiwall Carbon Nanotubes for the Removal of Sodium Dodecyl Sulfate (SDS) from Aqueous Solutions: Isotherm and Kinetic Studies

Z Rahmani<sup>1</sup>, M Harati<sup>2</sup>, MR Rahmani<sup>3</sup>, Y Poureshgh<sup>1</sup>, MT Samadi<sup>\*4</sup>

1. PhD Student of Environmental Health Engineering, Department of Environmental Health Engineering, School of Public Health, Hamadan University of Medical Sciences, Hamadan, Iran

2. PhD Student of Environmental Health Engineering, Department of Environmental Health Engineering, School of Public Health, Iran University of Medical Sciences, Tehran, Iran

3. Msc of Chemical Engineering, Department of Chemical Engineering, School of Chemical Engineering, Babol Noshirvani University of Technology, Babol, Iran

4. Ph.D of Environmental Health Engineering; Prof. of Environmental Health Engineering, Department of Environmental Health Engineering, School of Public Health, Student Research Center, Hamadan University of Medical Sciences, Hamadan, Iran

### ARTICLE INFORMATIONS:

Received: 27 January 2016

Revised: 18 April 2016

Accepted: 24 April 2016

Published: 18 September 2016

### ABSTRACT

**Background and Objective:** Surfactants can be found in soaps, detergents, pharmaceutical products, personal care products, as well as in leather industries. In this study, adsorption of Sodium Dodecyl Sulfate (SDS) on magnetic multi-walled carbon nanotubes in the aqueous solutions was investigated.

**Materials and methods:** Surfactant concentration, adsorbent dosage, and pH values were considered as variables. Residual surfactant was measured using methylene blue method and adsorbent characteristic was determined by X-Ray diffraction and Fourier transform infrared spectroscopic analysis. Adsorption capacity, adsorption isotherm, and kinetic reaction were also investigated.

**Results:** Adsorption investigations demonstrated that the increase in initial SDS concentration or pH values, led to the decrease in SDS adsorption. Conversely, the same result was achieved by decreasing adsorbent dosage. After 120 min SDS adsorption became stable. By increasing in SDS concentration from 15 to 150 mg/L, adsorption capacity improved from 8 to 61 mg/g. Isotherm and kinetic data demonstrated that experimental data pursued Langmuir isotherm ( $R^2=0.993$ ) and pseudo-second order equation ( $R^2=0.992$ ).

**Conclusion:** Magnetic multiwall carbon nanotubes can be used as an effective and useful sorbent for SDS removal due to several advantages including: high adsorption capacity, relatively low equilibrium time, and easy separation of magnetic multiwall carbon nanotubes from aqueous solutions.

**Key words:** Magnetic multiwall carbon nanotubes, Anionic surfactant sodium dodecyl sulfate, Adsorption

### \*Corresponding Author:

Samadi@umsha.ac.ir

Tel: +989188129968

Please cite this article as: Rahmani Z, Harati M, Rahmani MR, Poureshgh Y, Samadi MT. Application of magnetic multiwall carbon nanotubes for the removal of sodium dodecyl sulfate (SDS) from aqueous solutions: isotherm and kinetic studies. Iranian Journal of Health and Environment. 2016;9(2):259-72.